

## 영상신호의 고속처리를 위한 최적화 알고리즘에 대한 연구

正會員 權 起 堃\*

### A study of optimal algorithm for high-speed process of image signal

Kee Hong Kwon\*

#### 要 約

본 논문에서는 흐려진 영상을 처리하는 방법에 대하여 연구하였다. 기존의 처리방법은 특이점이나 악 조건일 경우 수렴 속도가 늦어진다는 점과 처리시간이 많이 소요되는 단점이 있다.

이러한 단점을 보완하기 위하여 Gauss-Seidel 방법으로 처리하는 방법이 있으나 이러한 경우 영상을 반복해서 처리해야 하므로 처리시간이 많이 소요된다.

이러한 단점(수렴 속도, 전체 처리시간)을 개선하기 위하여 본 논문에서는 기존의 신호처리(Gauss-Seidel)와 제안된 알고리즘을 적용시켜 비교하여 봄으로써 특이점 혹은 악조건일 경우에도 수렴속도를 고속화하여 기존의 Gauss-Seidel 신호 처리 방법보다 처리 시간을 단축할 수 있는 영상 복원 방법을 제시하였다.

제안된 최적화 알고리즘을 영상신호에 적용시켜 가속 상수에 따른 처리 신호의 simulation과 MSE(mean-square error)의 변화를 비교하여 봄으로써 처리정도를 알아보았다.

그리고, 본 알고리즘의 유효성을 입증하기 위하여 모든 가속상수의 변화에 대한 영상복원 결과와 처리시간을 측정하여 보았다.

#### ABSTRACT

In this paper, the method of processing a blurred noisy image has been researched.

The conventional method of processing signal has faults which are slow convergence speed and long time-consuming process at the singular point and/or in the ill condition.

There is the process, the Gauss-Seidel's method to remove these faults, but it takes too much time because it processed singnal repeatedly.

For overcoming the faults, this paper shows a image restoration method which takes shorter than the Gauss-Seidel's by comparing the Gauss Seidel's with proposed alogorithm and accelerating convergence speed at the singular point and/or in the ill condition.

In this paper, the conventional process method(Gauss-Seidel) and proposed optimal algorithm were used to get a standard image( $256 \times 56 \times \text{bits}$ ), and then the results are simulated and compared each other in order

\* 신일전문대학 전자계산과

Dept. of Computer Science., Shiil Technical College

論文番號 : 94172

接受日 : 1994年 6月 27日

to examine the variance of MSE(Mean Square Error) by the acceleration parameter in the proposed image restoration.

The result of the signal process and the process time was measured at all change of acceleration parameter in order to verify the effectiveness of the proposed algorithm.

## I. 서 론

일반적인 신호처리 방법의 공통적인 특징은 원래의 입력신호와 가장 유사한 같은 신호를 재현하는데 중점을 두고 있다.

신호는 시스템이 가진 특성으로 인해 형상, 감자, 기록, 진동의 단계를 거치는 농란 어려워함에 의해 훼손된다.

이러한 훼손은 다음과 같이 표현된다.<sup>[1][2]</sup>

$$y = H \cdot x + n \quad (1)$$

훼손된 신호  $y$ 는 원래의 입력신호  $x$ 가 시스템함수  $H$ 에 의해 흐려지고, 잡음  $n$ 이 더하여진 형태로 나타난다.

식(1)과 같이 훼손된 신호는 보통 흐림훼손과 가산잡음에 의한 훼손으로 나누어 차별화 되어 있다.

즉, 흐림에 의한 훼손을 처리하는 악편티, Jacobi방법, Gauss Seidel방법등과, 가산잡음에 의한 훼손을 처리하는 Winear, Lee, CSW, 작용성 편터 등이 있으며, 흐림훼손과 가산잡음에 의한 훼손을 처리하는 Tikhonov Miller방법등이 있다. 가존의 Jacobi방법이나 Gauss Seidel방법은 수학적인 모델이 비교적 간단하고, 신호처리효과도 우수한 실용적인 방법이다.

그러나, 이러한 신호처리방법이 어려면에서 우수함에도 불구하고 그동안 신호처리에 적용될때 발생되는 가장 큰 단점은 신호처리시 항상 수렴하지 않을 뿐 아니라 수렴시 반복처리는 필요로 하여 많은 처리시간의 소요와 식(1)과 같이 잡음이 포함되어 있는 훼손의 경우에 이 방법을 적용하였을 경우 잡음이 증폭이 발생한다.<sup>[3]</sup>

본 논문에서는 신호처리의 장점을 Tikhonov Miller방법의 장점을 이용한 방법에 가수 상수를 도입, 가존의 여러가지 단점을 보완하고, 신호처리정도를 증가시킬 뿐만 아니라, 가존의 방법에 있어서 가장 문제시되

는 처리시간을 현저히 줄일 수 있는 새로운 알고리즘을 제안하였다.

본 논문에서 제안하게 된 알고리즘은 수학적 해석과 신호처리기술에 바탕을 두며, 이로부터 유도해석된 최적화 상수를 이용하여 신호를 고속처리 가능케 한 것이다.

## II. 기존 신호 처리 방법의 분석

### 1. Jacobi/Gauss Seidel 처리 방법

신호가 식(1)과 같이 훼손되었을 경우, 신호처리시 역행렬이 존재하지 않으면 해를 구할 수 없다.

즉, II-1인 경우, II가獨立집을 가지거나 악조건인 경우 역편티 바탕으로 처리가 불가능하다. 이러한 단점을 해결하기 위하여 Jacobi 반복 처리 방법이 있는데 이 방법은 (0)이 아닌 대각선 요소를 갖는 행렬에 사용된다.

예를 들어 AX-B라는 식 (2)에서 Jacobi방법을 사용시킬 경우 다음과 같다.<sup>[10]</sup>

$$\begin{vmatrix} a_{11} & a_{12} & a_{13} \\ a_{21} & a_{22} & a_{23} \\ a_{31} & a_{32} & a_{33} \end{vmatrix} \begin{pmatrix} x_1 \\ x_2 \\ x_3 \end{pmatrix} = \begin{pmatrix} b_1 \\ b_2 \\ b_3 \end{pmatrix} \quad (2)$$

첫번째 반복시에는:

$$\begin{aligned} x_1 &= (b_1 - a_{12}, x_2 - a_{13}, x_3) / a_{11} \\ x_2 &= (b_2 - a_{21}, x_1 - a_{23}, x_3) / a_{22} \\ x_3 &= (b_3 - a_{31}, x_1 - a_{32}, x_2) / a_{33} \end{aligned} \quad (3)$$

과 같은 식이 된다.

일반적으로 Jacobi방법의 알고리즘은

$$x_i^{(k+1)} = \frac{(b_i - \sum_{j=1}^{i-1} a_{ij} * x_j^{(k)} - \sum_{j=i+1}^n a_{ij} * x_j^{(k)})}{a_{ii}} \quad (4)$$

이다.<sup>(11)</sup>

그런데 Jacobi방법은  $x_2^{(k+1)}$ 의 해를 구할 경우 최종에 구하여진 대  $x_1^{(k+1)}$ 을 사용하지 않는다.

이러한 단점을 보완한 것이 Gauss Seidel방법인데 이를 수식적으로 표현하면

For  $i=1,2,3,\dots,n$

$$x_i^{(k+1)} = \frac{(b_i - \sum_{j=1}^{i-1} a_{ij} * x_j^{(k+1)} - \sum_{j=i+1}^n a_{ij} * x_j^{(k)})}{a_{ii}} \quad (5)$$

여기에서  $x_i^{(k+1)}$ 가 계산과정에 포함되어 조율 더 간사한 값이 계산과정에 포함됨으로 처리 속도가 빠름을 알 수가 있다.

위의 두가지 방법에 메모리 절약과 시간 단축을 위하여 LD(U행렬을 사용한다.

$$L = \begin{vmatrix} 0 & \cdot & \cdot & \cdot & \cdot & \cdot & 0 \\ a_{21} & \cdot & \cdot & \cdot & \cdot & \cdot & \cdot \\ \cdot & \cdot & \cdot & \cdot & \cdot & \cdot & \cdot \\ \cdot & \cdot & \cdot & \cdot & \cdot & \cdot & \cdot \\ a_{n1} & \cdot & \cdot & \cdot & \cdot & \cdot & a_{nn-1} 0 \end{vmatrix} \quad (6)$$

$$D = diag(a_{11}, \dots, \dots, a_{nn}) \quad (7)$$

$$U = \begin{vmatrix} a_{12} & \cdot & \cdot & \cdot & \cdot & \cdot & a_{1n} \\ \cdot & \cdot & \cdot & \cdot & \cdot & \cdot & a_{2n} \\ \cdot & \cdot & \cdot & \cdot & \cdot & \cdot & \cdot \\ 0 & \cdot & \cdot & \cdot & \cdot & \cdot & 0 \end{vmatrix} \quad (8)$$

L, D, U행렬을 jacobi방법에 도입하면

$$\frac{M_j \cdot X^{(k+1)}}{M_j = D} = \frac{N_j \cdot X^{(k)} + b}{N_j = (L+D)} \quad (9)$$

Gauss Seidel 방법은

$$M_j \cdot X^{(k+1)} = N_j \cdot X^{(k+1)} + b \quad (10)$$

여기서  $M_j = (D+L) \quad N_j = -U$ 가 된다.

윗 적에서 해가 얼마나 빨리  $X = A^{-1} B$ 에 수렴할 수 있는지가 중요하다. Gauss Seidel에 의한 방법이 Jacobi의 방법보다 수리 속도가 약간 빠를 뿐만 아니라 계산기에 적용할 경우 간단하다.<sup>(10)</sup>

## 2. 정직화된 Tikhonov-Miller 방법의 분석

Gauss Seidel방법으로 신호처리시 가산집음이 포함되어 있는 훼손신호에 적용하였을 경우 잡음의 증폭이 발생한다.

이러한 단점을 보완한것이 Tikhonov Miller 방법이다.<sup>(10)</sup>

신호처리시 대개 훼손된 신호의 잡음항 norm의 가능한 균형지를 사용하게 된다.<sup>(8)</sup>

가능한 해의 잡함은 이 잡음 norm에 대한 개선도 ( $y - H\hat{x}$ )의 norm을 제안함으로써 정의할 수 있다.

정직화된 Tikhonov Miller방법은 식(1)에서 개선도의 norm을 구하면

$$\|y - H\hat{x}\|_R = [(y - H\hat{x})^T R (y - H\hat{x})]^{1/2} \leq E \quad (11)$$

여기서 범위  $\varepsilon$ 은 훼손된 신호  $y$ 의 잡음항의 합과 관련된 변수이다.

필터 $\hat{x}$ 를 통과한 신호  $L\hat{x}$ 의 norm은

$$\|L\hat{x}\|_S = [(L\hat{x})^T S (L\hat{x})]^{1/2} \leq E \quad (12)$$

이고, 여기서  $L$ 은 선형 정직화 연산자이다.

Miller의 정직화 연구에서는 식(11)와 (12)를 결합하여

$$\Phi(\hat{x}) = \|y - H\hat{x}\|_R^2 + \alpha \|L\hat{x}\|_S^2 \leq 2\varepsilon^2 \quad (13)$$

되고, 여기서  $\alpha$ 는 정직화변수로 고정된 값  
 $\alpha = (\frac{E}{E})^2$ 이다.

만약 해  $\hat{x}$ 가 식(11)과 (12)의 범위를 만족한다면  
 식(13)을 만족한다.

역으로, 해  $\hat{x}$ 가 식(13)을 만족한다면 식(11)과 (12)  
 도 또한 만족한다. 식 (13)을 만족하는 해중에서 적절  
 한 해는  $\hat{x}_m$ 으로써 Miller의 정직화해라 부르며,  $\Phi(\hat{x})$   
 를 최소화한다.

이 최소화 해는 다음과 같이 주어진다.

$$(H'RH + \alpha L^T SL) \hat{x}_m = H'Ry \quad (14)$$

$$\hat{x}_m = \frac{H'Ry}{H'RH + \alpha L^T} \quad (15)$$

로 구해진다.

### III. 제안된 알고리즘

Tikhonov Miller방법은 Gauss Seidel방법을 수정  
 보완한것으로 반복신호처리에 따른 처리시간이 많이  
 소요된다.

즉, 신호처리를 기준의 방법으로 한 경우 반복처리  
 에 따른 처리시간이 문제가 된다. 이러한 단점을 보완  
 하기 위하여 어떠한 경우에도 수렴속도가 늦어지지 않  
 으며, 가산점음이 포함된 훈련신호에 적용함에 있어서  
 도 전체 처리시간의 현저한 감소와 신호처리성도를 대  
 폭 개선할 수 있는 새로운 알고리즘을 제안한다.

즉, Jacobi방법은

$$(X_i)^{(k+1)} = \frac{-1}{a_{ii}} [ b_i - \sum_{j=1, j \neq i}^n a_{ij} \cdot X_j^{(k)} ] \quad (16)$$

For  $i = 1, 2, 3, \dots, n$ 이다.

Gauss-Seidel방법은 위의 방법을 보완한 것으로

$$a_{ii} \cdot X_i^{(k+1)} = - \sum_{j=1}^{i-1} a_{ij} \cdot X_j^{(k+1)} - \sum_{j=i+1}^n a_{ij} \cdot X_j^{(k)} + b_i \quad (17)$$

For  $i = 1, 2, 3, \dots, n$

즉, Jacobi방법의 계산속도를 빠르게 한 것이나  
 Gauss Seidel방법 역시 특이점(singular point)나 악 조  
 건(gill condition)인 경우 수렴 속도가 매우 느려진다는  
 단점이 있다.

이것은  $\alpha_n$ 항인  $D$ 가 0인 (특이점)인 경우 식 (10)의  
 $M_g$ 항이 적어서 수렴속도가 느려진다는 것이다.

이것은 식(10)에서

$$D \cdot X^{k+1} = -L \cdot X^{k+1} - U \cdot X^k + b \quad (18)$$

와 같이 된다. 여기서

D : 대각선 행렬

L : 하부 삼각 행렬

U : 상부 삼각 행렬

식 (18)를 정리하면

$$X_i^{(k+1)} = \frac{1}{a_{ii}} [ b_i - \sum_{j=1}^{i-1} a_{ij} \cdot X_j^{(k+1)} - \sum_{j=i+1}^n a_{ij} \cdot X_j^{(k)} ] \quad (19)$$

For  $i = 1, 2, 3, \dots, n$

오늘 쓸 수 있는데 (K+1)번째의 초기화  $X^{(k+1)}$ 에  
 대해서

$$A \cdot X^{(k+1)} = B^{(k+1)} \text{이라하면} \quad (20)$$

$$R^{(k+1)} = B^{(k+1)} - A \cdot X^{(k)}$$

여기서  $R^{(k+1)}$ 은

$$R^{(k+1)} = [ (r_1)^{k+1}, (r_2)^{k+1}, \dots, (r_u)^{k+1} ]^T \quad (21)$$

과 같이 되는데 이 것을 개선도 벡터(Residual vector)라고 한다.

$$R^{(k+1)} = B^{(k+1)} - AX^{(k)}$$

$$\text{이 말의 의미는 } R^{(k+1)} = B^{(k+1)} - B^{(k)}$$

( $k+1$ )번째 신호가 ( $k$ )번째 신호보다 얼마나 개선되었는가를 나타낸다.

$R^{(k+1)} = 0$ 이면  $X^{(k+1)}$ 가 정해지지만 대개는  $R^{(k+1)} = 0$ 이 아니다.

특히 Gauss-Seidel 모델에서의  $(r_i)^{k+1}$ 은

$$(r_i)^{k+1} = b_i - \sum_{j=1}^{i-1} a_{ij} \cdot X_j^{(k+1)} - \sum_{j=i+1}^n a_{ij} \cdot X_j^k - a_{ii} \cdot X_i^{(k)} \quad (22)$$

이므로

$$a_{ii} \cdot X_i^k + (r_i)^{k+1} = b_i - \sum_{j=1}^{i-1} a_{ij} \cdot X_j^{(k+1)} - \sum_{j=i+1}^n a_{ij} \cdot X_j^k \quad (23)$$

(19)식과 (23)식에서

$$a_{ii} \cdot X_i^k + (r_i)^{k+1} = a_{ii} \cdot X_i^{k+1} \quad (24)$$

$$\text{즉}, X_i^{k+1} = X_i^k + \frac{(r_i)^{k+1}}{a_{ii}} \quad (25)$$

개선도 벡터가 0일 경우에 반복이 멈추어 진다. 그러나 보통 이 값은 0이 아니므로 수렴성의 확실성을 회복하게 한다. 그러므로 여기서 개선도 벡터(Residual vector)  $R^{k+1}$ 의 노름을 감소시키기 위하여 식 (25)을 수정하여

$$(X_i)^{k+1} = (x_i)^k + W \cdot \frac{(r_i)^{k+1}}{a_{ii}} \quad (26)$$

로 하여  $W$ 의 값에 따라 수렴속도를 조절할 수 있는 방법을 제시한다.  $W$ 의 도입은  $(r_i)^{(k+1)}$ 의 개선도 vector가 실제로 0이 안됨으로 수렴성을 가속화하기 위한 상수값이다.

여기서  $W$ 값을 구하기 위하여

$$\rho(A) = \max \{ |\lambda| \} \quad (27)$$

와 같이 정의한다.

단,  $\lambda_i$ 는  $A$ 의 고유치이고 만약  $\lambda = a+bi$ 이면  $|\lambda_i| = \sqrt{a^2+b^2}$ 으로 정의하면

n차 정방 행렬

$$A = \begin{bmatrix} a_{11} & a_{12} & \cdots & \cdots & \cdots & a_{1n} \\ \vdots & \vdots & & & & \vdots \\ a_{n1} & \cdots & \cdots & \cdots & \cdots & a_{nn} \end{bmatrix} \text{에서}$$

$$L = \begin{bmatrix} 0 & \cdots & \cdots & \cdots & \cdots & \cdots & \cdots & 0 \\ a_{21} & \ddots \\ \vdots & & & & & & & \vdots \\ a_{n1} & \cdots & \cdots & \cdots & \cdots & \cdots & a_{nn-1} & 0 \end{bmatrix},$$

$$D = \begin{bmatrix} a_{11} & \cdots & \cdots & \cdots & \cdots & \cdots & 0 \\ a_{22} & \ddots & \ddots & \ddots & \ddots & \ddots & \vdots \\ \vdots & & & & & & \\ 0 & \cdots & \cdots & \cdots & \cdots & \cdots & a_{nn} \end{bmatrix}$$

$$U = \begin{bmatrix} 0 & \cdots & \cdots & \cdots & \cdots & \cdots & a_{1n} \\ 0 & \ddots & \ddots & \ddots & \ddots & \ddots & \vdots \\ 0 & \cdots & \cdots & \cdots & a_{n-1n} & \cdots & 0 \end{bmatrix}$$

$$A = L + D + U \quad (28)$$

$$T = D^{-1}(L + U) \text{라 할 때} \quad (29)$$

$$W = \frac{2}{1 + \sqrt{1 - \rho(T)^2}} \quad (30)$$

로 하면 수렴 속도가 가장 빠른것이 증명되어 있다.<sup>(11,12)</sup>

여기에서  $\rho(T)$ (행렬  $T$ 의 최대반경)를 구할시에는 실수 요소로 된 n차 정방행렬  $A$ 의 고유치  $(\lambda_i)_{i=1}^n$ 에 대하여

$$|\lambda_1| > |\lambda_2| \geq |\lambda_3| \geq \dots \geq |\lambda_n| \quad (31)$$

을 가정하고  $A_i^*$ 은 1차 독립인 고유벡터  $(U_i)_{i=1}^n$ 을 갖는다고 하자.

또  $n$ 차 열 벡터  $X_0$ 은

$$X_0 = {}_{a1}U_1 + {}_{a2}U_2 + {}_{a3}U_3 + \cdots + {}_{an}U_n \quad (32)$$

이를  $AU_i = \lambda_i U_i$ 에서

$$AU_i = \lambda_i U_i \quad \text{에서}$$

$$A(AU_i) = A\lambda_i U_i = \lambda_i(AU_i)$$

$$\therefore A^2 U_i = (\lambda_i)^2 U_i \quad (33)$$

$$A^3 U_i = (\lambda_i)^3 U_i$$

$\vdots$

$\vdots$

$$A^k U_i = (\lambda_i)^k U_i \quad (34)$$

마을 때 같은 줄임말

$$X_0 = A$$

$$X_1 = AX_0$$

$$X_2 = AX_1, (X_2 - A^2 X_0) \quad (34)$$

$\vdots$

$$X_k = AX_{k-1}, (X_k - A^k X_0)$$

을 만족면 식 (32), (33), (34)에서

$$\begin{aligned} X_k &= A^k \cdot X_0 \\ &= \alpha_1 A^k U_1 + \alpha_2 A^k U_2 + \cdots + \alpha_n A^k U_n \\ &= \alpha_1 (\lambda_1)^k U_1 + \alpha_2 (\lambda_2)^k U_2 + \cdots + \alpha_n (\lambda_n)^k U_n \\ &\quad \vdots \\ &= (\lambda_1)^k (\alpha_1 U_1 + \alpha_2 (\frac{\lambda_2}{\lambda_1})^k U_2 + \cdots + \alpha_n (\frac{\lambda_n}{\lambda_1})^k U_n) \end{aligned} \quad (35)$$

가 된다.

식 (31)의 조건하에서 K가 증가하면

$X_k = (\lambda_1)^k \alpha_1 \cdot U_1$ 이 된다.

$$\text{이 } X^{k+1} = (\lambda_1)^{k+1} \alpha_1 U_1 \text{ 및 } X^{k+1} =$$

$(\lambda_1)^k (\lambda_1) \cdot \alpha_1 U_1 = (\lambda_1)^k X_k$ 이므로 이것을 이용하여  $\lambda_1$ 을 구할 수 있다.

$$\text{이 때 } (\lambda_1)^k = \frac{X^{k+1}}{X^k} \text{에 의하여 } \lambda_1 \text{을 구할려면} \quad (36)$$

매 단계마다 벡터계산이 필요하다. 이런 점을 해기하기 위하여 예를 들어.

$$X'_k \cdot X_{k+1} = (\lambda_1)^k \cdot X'_k \cdot X_k \quad (37)$$

( $X'_k$ 는  $X_k$ 의 전치벡터)

$$\lambda_1 = \frac{X'_k X_{k+1}}{X'_k X_k} \text{로써 구하면 scalar 계산이 된다.}$$

만약  $X_{k+1}$ 의 절대최대요소를  $X_k$ 의 절대최대요소로 구하면 그 값을 구할 수 있으나 이 방법은 매 단계마다 절대최대요소를 판별해서 구해야 하므로 또  $|\lambda_1|$ 를 구하는 데 추가 할 수록  $X_k$ 로 가까울 때  $|\lambda_1| = 1$ 이면  $k$ 가 감소하여 사실 컴퓨터의 계산범위를 넘을 수 있다.

이상의 문제점을 해결하기 위하여

$X'_k X_k = 1$  ( $\|X_0\| = 1$ ) 일 초기자  $X_0$ 를 선정하고 매 단계마다 l norm 을 이용한 정규화(normalization) 또는 scaling을 통하여  $X_k$ 를 구하여 식 (36)으로써 scalar 계산을 통하여  $|\lambda_1|$ 을 구한다.

이 과정의 주요 단계는

$$(1) X'_k X_k = 1 일 초기자  $X_0$  선정$$

$$(2) i = 1$$

$$(3) Y_i = AX_{i-1}$$

$$(4) \beta_i = \|Y_{i-1}\| Y_i (\text{고유자 } \lambda_1)$$

$$(5) \eta_i = \sqrt{\|Y_i\|^2} (l_2 \text{ norm})$$

$$(6) X_i = \frac{Y_i}{\eta_i} (X_i \text{는 } \|X_i\| = 1 \text{인 고유벡터})$$

(7) 수렴판정,  $\lambda_i$  이 수렴하면 끝.

(8)  $i = i+1$  ( $i+1 = 1$ )

(9) (3)부터 반복

알고리즘에서 계산되는  $\beta_i$ 는

$$\beta_i = \frac{X_{i-1}^t Y_i}{X_{i-1}^t X_{i-1}} \text{ 이어야 한다.}$$

여기서 구한  $\beta_i$ 값을  $\rho(T)$ 에 대입한다.

여기에서 구한  $W$ 와 식 (26)과 식 (22)에서 신호처리에 적용될 최적화 알고리즘의 식을 구하면

$$\begin{aligned} (\hat{x})^{k+1} &= (1 - W) \cdot (\hat{x})^k \\ &+ W [ \hat{x}^k - W_2 \cdot (y - H \hat{x}^k) ] \end{aligned} \quad (37)$$

이다.(여기서  $W_2$ 위의 상수)

이 방법은 수렴 속도가 높은 Gauss-Seidel방법을 개선하기 위하여 최적화 한 것이다.

(37)와 (17)을 비교하여 보면  $(1-W) \cdot (X_i)^k$  와  $W \cdot W_2$ 가 사용되었다.

이  $W_2$ 는 상수값으로 주어지므로 연산 속도에는 크게 미치지는 못하나  $(1-W) \cdot (X_i)^k$ 때문에 같은 반복횟수에 비하여 처리속도가 가속화되고 특히점, 악조건  $W$ 는 상수이므로 빨리 수렴하게 된다.

반복 Tikhonov-Miller방법의 알고리즘 역시 Gauss-Seidel방법을 수정보완한 것이므로 가속상수의 도입과 신호처리의 최적화가 가능하다.

즉, 반복 Tikhonov-Miller방법의 장점을 도입하기 위해 식 (15)를 연속적으로 근사화함으로써

$$\hat{x}_0 = H^t \cdot y \quad (38)$$

$$x^{(k+1)} = (I - \alpha L^t L) x^k + \beta H^t (y - H x^k) \quad (39)$$

와 같이 구해진다.

여기서 전체 처리시간과 기억 용량의 증가함이 없이 특이점이나 악조건일 경우에도 수렴성을 보장받고, 가산잡음에 대해서도 처리정도를 현저히 개선시킬 뿐만 아니라 처리시간상의 문제점을 해결하기 위하여 식(37)

과 (38)를 정리하여 최적화하면 다음과 같다.

$$\begin{aligned} x^{(k+1)} &= (1 - W_1) x^k + W_1 [ (I - \alpha L^t L) x^k \\ &+ \beta H^t (y - H x^k) ] \end{aligned} \quad (40)$$

여기서  $\beta$ 값은 전체연산속도를 최적화하는 값을 사용하였다.

여기서  $W_1$ 과  $\beta$ 는 상수로써 전체 연산속도에는 영향을 주지 않는다.

#### IV. 시뮬레이션 결과 및 고찰

본 논문에서 제안한 알고리즘의 유효성을 확인하기 위하여 영상신호처리에 적용시켜 보았다.

사용된 영상신호는  $256 \times 256$  해상도 및 256의 계조도를 갖는 표준 영상을 사용하였다.

영상을 처리할 경우, 영상처리장치의 불완전함에 의해 흐려지고 가산잡음에 의해 훼손되어 지는데, 가산잡음은 영상의 형성, 전단, 자장과정에서 임의로 영상에 섞이게 된다.

본 논문에서는 표준 원 영상신호를 접착산 황수로써 (PSF)로써 흐려지게 하고 흐려진 영상에 가우스 분포를 갖는 백색 잡음(Gaussian White Noise)를 가산하였다. 이 때 흐려진 영상의 신호 대 잡음비 BSNR의 식은

$$\begin{aligned} BSNR &= \frac{\text{variance of the blurred imaged}}{\text{variance of the additive noise}} \\ &= \frac{\sigma^2 H \cdot x}{\sigma^2 n} \end{aligned}$$

(41)  
과 같다.

본 논문에서 사용된 가산잡음은 20dB의 신호 대 잡음비를 가지는 백색잡음을 사용하였다.

다음과 같이 정의한다.

$$MSE = \frac{1}{M * N} \sum_{i=1}^N \sum_{j=1}^M (X(i, j) - \hat{X}(i, j))^2 \quad (42)$$

훼손된 영상의 MSE는 268.42588이다.

표(1)과 그림(1)은 Tikhonov-Miller방법과 제안된 알고리즘의 평균 자승오차(MSE)를 시간에 대해 비교하여 보았다.

제안된 알고리즘에서 사용된 가속상수는  $W_1=0.5$ ,  $\beta = 9.0$  값을 사용하였으며, IBM PC 486 기종을 사용하여 시뮬레이션한 처리시간은 추정, 비교하였다.

표 1. 처리시간에 대한 평균 사상오차(MSE)의 비교

TABLE 1. Compared MSE for processed time

반복회수 만족도수	가중치 방법 Tikhonov_miller	제안된 알고리즘 proposed	처리시간 (sec)								
				1	2	3	4	5	6	7	8
1	170.51861	151.70035	90								
2	161.51880	162.10304	180								
3	158.12446	166.82231	270								
4	157.05715	170.49918	350								
5	157.03006	173.55008	440								
6	157.01382	176.21333	540								
7	158.21780	178.62766	630								
8	159.02305	180.91017	720								
9	159.86405	183.04803	800								
10	160.70411	185.21863	890								

표 2. 기준시간(9초)에서의 가속상수에 따른 영상신호처리의 처리 오차(MSE) 비교

Table 2. Compared MSE of image singal process by the standard time (9sec)

#	0.5	1.0	1.5	2.0	2.5	3.0	4.0	4.5	5.0	5.5	6.0	6.5	7.0	7.5	8.0	8.5	9.0	9.5	10.0		
0.5	166.99955	180.26997	174.84111	170.51861	167.01658	164.17286	161.86176	159.26537	158.46542	157.24340	156.26702	156.49747	154.70248	154.92664	154.13497	153.92280	153.70417	153.79995	153.80578		
1.0	180.18077	170.51880	164.17286	159.98657	157.24340	156.9749	154.45564	153.92280	153.70508	154.24335	154.70248	156.26702	157.08797	158.05611	159.10770	160.23810	161.44630	162.31222			
1.5	174.84111	164.17286	156.49747	155.07642	155.07642	154.13497	153.70508	154.04048	154.70248	156.46542	157.08797	158.57181	160.26702	162.91658	164.10532	166.82231	171.59865	174.75666	176.21333		
2.0	170.51861	159.98657	156.49747	153.92280	153.92280	154.70248	156.26702	158.05611	160.23810	161.73127	165.26702	170.62038	177.24476	182.84519	183.41056	181.25985	184.29557	183.30735			
2.5	167.01658	157.24340	154.13497	153.70508	155.08031	157.08797	159.65021	162.73227	166.26662	170.03292	175.03021	183.35735	196.80938	215.76296	260.58505	268.61985	268.25064	270.14725	270.00000		
3.0	174.17286	156.49747	153.70508	154.70248	157.08797	160.23810	164.10532	165.26702	171.75666	183.35735	201.97894	211.23561	241.25207	268.96930	267.20064	271.74895	262.12424	267.56146	268.86536		
3.5	161.95176	154.65564	154.04048	156.20725	156.20725	150.05032	164.10532	166.70875	177.24476	189.80938	208.51405	200.83040	270.59923	270.24367	705.92005	704.54602	827.57978	860.17070	897.76528	922.74056	947.19413
4.0	168.38577	153.70211	154.70248	156.06161	162.73227	168.82231	177.24476	192.45109	191.23036	180.52620	154.04048	174.70275	178.62766	182.84519	244.41056	111.25985	214.29557	183.30735			
4.5	173.96642	153.70211	154.70248	156.06161	162.73227	168.82231	177.24476	192.45109	191.23036	180.52620	154.04048	174.70275	178.62766	182.84519	244.41056	111.25985	214.29557	183.30735			
5.0	157.24340	153.88595	157.08797	160.73127	170.03292	183.35735	188.15005	190.52630	198.26084	214.25207	214.25207	214.25207	214.25207	214.25207	214.25207	214.25207	214.25207	214.25207	214.25207		
5.5	156.20725	154.21330	158.57181	158.56577	175.9692	201.97894	208.80404	214.17474	216.31027	210.61144	212.26824	214.14.3923	217.5.2420	217.7.24476	217.7.24476	217.7.24476	217.7.24476	217.7.24476	217.7.24476		
6.0	156.67152	154.70248	162.28110	165.22552	183.37075	111.25985	169.96923	177.24476	192.45109	191.23036	180.52620	154.04048	174.70275	178.62766	182.84519	244.41056	111.25985	214.29557	183.30735		
6.5	154.93248	155.42825	162.28110	172.61096	190.00035	141.2.2877	165.6.2407	178.9.6320	184.4.7543	192.6.4543	194.7.5702	198.8.15338	201.7.9842	204.7.7029	207.7.56205	214.4.7543	214.4.7543	214.4.7543	214.4.7543		
7.0	154.45564	156.20725	164.10532	177.24476	178.15005	187.8.9692	193.6.00008	202.7.5780	207.3.56508	208.1.18410	202.7.31781	210.2.33683	214.7.56899	217.9.56302	211.0.3.5	212.0.23864	213.0.16703	215.1.51625	217.0.23864		
7.5	154.13047	157.08797	166.33062	183.36730	270.8.76236	240.7.20064	249.4.5622	260.1.86338	262.2.72354	272.7.6262	210.1.7.00308	104.0.52895	107.4.10368	110.1.86775	111.5.78200	112.0.3.9208	115.4.9211	116.2.99303	117.9.8.118	118.7.3404	
8.0	153.92381	158.95611	168.2285	192.95119	180.3.50035	71.7.4.9878	273.5.9780	8.1.4.2024	93.7.65795	92.7.38162	104.2.56233	107.0.72712	105.4.1254	112.0.1.22564	113.3.93261	115.4.1.1254	116.5.56564	117.5.35654	118.7.22772	125.1.77137	
8.5	153.84547	159.13774	171.59865	244.61056	610.0.1935	760.2.86999	185.0.0107	92.7.33075	90.8.1.6768	102.1.55105	105.4.94248	108.5.56308	110.5.97171	113.4.18720	115.5.92515	116.5.74291	117.5.22060	119.6.19720	205.6.0467	121.7.37064	
9.0	153.76655	160.28110	174.75666	111.25985	645.7.20062	789.2.1242	887.3.5625	92.7.4.7795	100.2.7.008	101.4.52869	107.5.41518	110.4.69911	113.0.98644	115.3.76205	116.2.56262	117.5.35654	118.6.19720	120.7.1.02	124.4.20064	12.7.58403	
9.5	153.79387	171.44569	178.59949	214.26857	702.0.1725	879.5.96146	92.2.74685	97.2.39623	102.1.45204	103.7.65714	109.2.1.7934	111.9.53417	112.5.87947	116.1.45781	117.5.35654	118.6.19720	120.7.1.02	124.4.20064	122.9.86166	123.1.32205	
10.0	153.85606	162.73122	183.36730	180.3.50035	740.8.50035	883.8.93335	93.9.1.84101	99.7.3.6162	104.2.52868	108.0.1.5825	111.2.68797	113.0.9.90033	115.8.50247	117.0.7.79777	118.7.68404	120.5.86206	122.2.56008	124.0.32205	124.1.42587		

보다 나은 처리속도를 가진 컴퓨터를 사용한다면 처리시간은 단축될 수 있을 것이다.

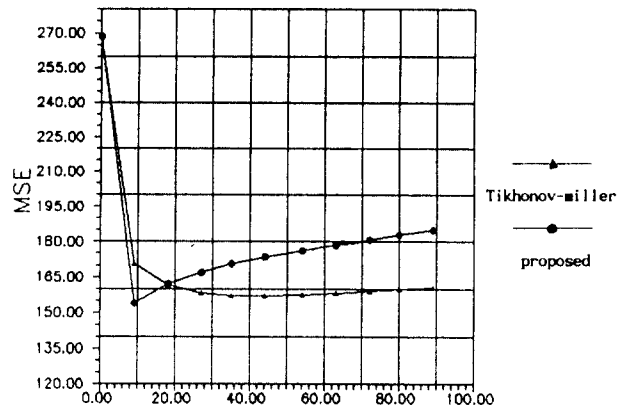


그림 1. 처리시간에 대한 평균 사상오차(MSE)의 비교

Fig. 1. Compared MSE for processed time

또 가속상수  $W_1$ ,  $\beta$ 에 따른 영상신호의 오차와 처리시간을 살펴보면 감소시 모든 구해본 결과 세안된 최적화 알고리즘의 유효성을 확인할 수 있었다.

가속상수와 반복처리시간에 따른 전체처리결과를 구하였으나 너무 방대한 양이므로 기준시간(9sec)에서의 가속변수에 따른 영상신호처리의 처리오차(Mean Square Error)를 그림(2)에서 도식화하고 표(2)에 자료를 정리하였다.

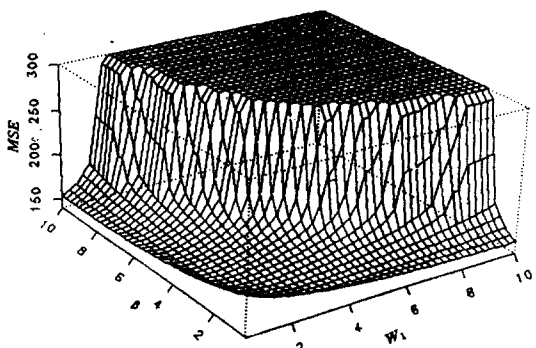


그림 2. 기준시간(9초)에서의 가속상수에 따른 영상신호처리의 처리오차(MSE)비교

Fig. 2. Compared MSE of image singal process by the standard time (9sec)

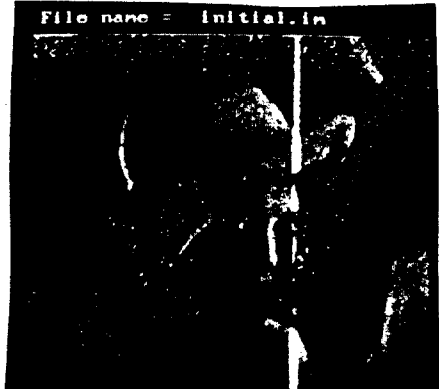
그림 [3]은 원영상과 훼손된 영상을 나타내었다.  
여기서 (c)는 Tikhonov-Miller의 초기근사해를 위해 초기화한 영상이다.



(a) original image



(b) observed image(blurred-noisy image)



(c) initinal image

그림 3. 원 영상과 훼손된 영상

Fig. 3. Original image and noisy-blurred image for BSNR=20dB

그림 [4]는 기존의 반복 Tikhonov-Miller방법을 사용하여 처리영상은 반복횟수(K)에 따라 나타내었고 그림 [5]는 제안된 방법에 의해 처리된 영상을 나타내었다.



(a) k=1



(d) k=4



(b) k=2



(c) k=5



(e) k=3



(f) k=6



(g) k=7



(j) k=10

그림 4. 기존의 반복 Tikhonov-Miller 방법에 의한 복원영상(k: 반복회수)

Fig. 4. Restored image by conventional(Tikhonov-Miller) iterative method (k: iterative numbers)



(h) k=8



그림 5. 제안된 방법에 의한 복원영상

Fig. 5. Restored image by proposed method



(i) k=9

## V. 결 론

신호는 그 형성, 감지, 기록, 전송의 단계를 거치는 동안 여러가지 원인에 의해 훼손되며, 훼손된 신호를 처리하여 원래의 입력신호와 가장 근사한 신호를 재현하는 기존의 많은 복원 방법은 여러가지 단점들이 발생하였다.

기존의 가려 방법은, 주가장점음에 의해 훼손된 원본을 처리하는 여러 가지 방법들은 전형적으로 뒤에 의한 훼손을 처리하지 못함으로써 실제 응용에 많은 제약이 있으며, 뒤에 의한 훼손을 처리하는 만족 복원방법들은 가산잡음이 있을 시 그 복원과정에서 가산잡음의 증폭을 초래하여 오히려 더 훼손된 결과를 가진다.

우 훨씬 훼손과 가산잡음에 의한 훼손은 복원시 서로 상호작용 관계를 가진다. 또한, 훨씬 훼손 신호가 만족복원 할 때 악조건이나 특이점을 가진 경우 일정 수준까지 않는 단점을 가지고 있으며, 이러한 악조건과 특이점 문제를 해결하기 위한 공정이 필요하다.

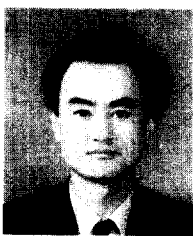
그러나, 이러한 공정은 실제 처리시간을 증가시키므로 해석 단점을 가진다. 본 논문에서 제안한 알고리즘은 훨씬 훼손과 가산잡음이 있는 실제의 신호를 처리할 때 있어 악조건이나 특이점에 저항, 주요한 Tikhonov-miller의 만족 복원 방법에 새로운 조건을 대입해 반복 가려를 하지 않고 직접적으로 훈련함으로써 대신 디플레이션적 차운 문제없이 허여 주 처리시간을 해결하였으며, 가산잡음에 의한 훼손을 일시적 감소시킨 방법이다. 본 논문에서 제시된 수학적 알고리즘은 기존의 알고리즘에  $W_1, \beta$ 의 값만을 무작위로 사용하였다.

이것은 기존의 알고리즘의 모든 장점을 가산잡음에 대한 처리, 특이점이나 악조건에서의 수렴성을 그대로 간직한 채 상수만을 사용함으로써 메모리의 증가를 필요로 하지 않고 만족처리의 단점을 전제 처리시간을 고려화시킬 방법이다.

제안된 알고리즘과 Tikhonov-miller방법을 시스템 흐름에 의해 훈련하고 20dB의 가산잡음이 있는 영상신호를 복원하는데 비교해 본 결과 전제 처리시간의 감소한 감소와 계산적인 향가 정도인 속도 차이(10%)는 매우 줄임 유통한 방법임을 확인할 수 있었다.

## 참 고 문 현

- [1] H. C. Andrews and B. R. Hunt, Digital Image Restoration, Englewood Cliffs, NJ:Prentice Hall, 1977.
- [2] J. Biemond, E. G. Von der Putten, and J. W. Woods "Identification and restoration of images with symmetric non causal blur," IEEE Trans. Circuits Syst., vol. CAS-35, pp.385-394, 1988.
- [3] P. H. Westerink, J. Biemond, and P. H. L. de Bruin, "Digital color image restoration," in Signal Processing III/Theories and Applications, I. T. Young et al., Eds. Amsterdam: The Netherlands:Elsevier North Holland, 1986, pp. 761-764.
- [4] A. L. Steven, W. Zucker, and A. Rossenfeld, "Iterative enhancement of noisy images"IEEE Trans. Systems, Man and Cybernetics SMC-7, 1977, pp. 435-442.
- [5] H. J. Trussell and M. R. Civallar, "The feasible region in digital restoration," IEEE Trans. Acoust., Speech, Signal Processing, vol. ASSP-32, pp. 701-711, 1984.
- [6] A. K. katsaggelos, J. Biemond, R. M. Mersereau, and R. W. Schafer, "A general formulation of constrained iterative image restoration algorithms," in Proc. IEEE Int. conf. Acoust., Speech, Signal Processing 1985, Tampa, Fl, 1985, pp. 700-703.
- [7] K. Miller, "Least squares methods for ill posed problems with a prescribed bound," SIAM J. Math. Anal., vol. 1, pp. 52-74, 1970.
- [8] Reginald L. Lagendijk and Jan Biemond, "Regularized iterative image restoration with ringing reduction," IEEE Trans. ASSP, vol. 36, NO. 12, December 1988.
- [9] A. N. Tikhonov and V. Y. Arsenin, solutions of Ill-posed problems, New York:Willey, 1977.
- [10] Lee W. Johnson, R. Dean Riess, "Numerical Analysis", Addison-Wesley Publishing Company, 1982.
- [11] Richard L. Burden, J. Douglas Faires, Albert C. Reynolds, "Numerical Analysis", Prindle, Weber & Schmidt Boston, Massachussetts, 1981.
- [12] Melvin J. Maron, "Numerical Analysis", Macmillan publishing Co., Inc. New York.
- [13] Francis S. id, "Numerical Analysis", Schaum's outline ser<sup>2</sup>



權起弘(Kee Hong Kwon) 정회원

1989년 : 영남대학교 공과대학  
전 자공학과 학사

1991년 : 영남대학교 공과대학  
전 자공학(전자통신  
전공)석사

1991년 : 영남대학교 공과대학  
전 자공학(전자통신 전  
공) 박사과정 입학

1991년 ~ 현 : 신일전문대학 전자계산과 전임강사 재직